

Inhaltsverzeichnis

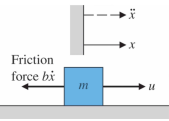
②	Modellierung von dynamischen Systemen	1
③	Das dynamische Verhalten von Systemen	1
3.1	Blockdiagramme	1
3.2	Laplace-Transformation	1
3.3	Partialbruchzerlegung	2
④	Frequenzgang und Polstellenlage	2
4.1	PT ₂ - Glied	2
4.2	Kenngrößen im Zeitbereich	2
⑥	Stabilität von linearen Systemen	2
6.1	Routh-Stabilitätskriterium	2
6.2	CLM-Stabilitätskriterium	3
⑧	Wurzelortskurve	3
⑦	Bode-Diagramm	3
⑨	Nyquist-Diagramm (Stabilität)	4
⑩	Zustandsraumdarstellung	4
⑪	Kanonische Formen	4
⑬	Regelung im Zustandsraum	6
13.1	Regler-Entwurf	6
13.2	Beobachterentwurf	6
⑮	Optimale Regelung	7
15.1	LQ-Regler - optimaler Regler	7
⑮	Kalman-Filter - optimaler Schätzer	7
⑰	Diskrete Systeme.	7
⑱	Diskrete Fundamentalmatrix	8

② Modellierung von dynamischen Systemen

KOCHREZEPT: Freischneiden

Massen $\{m_1, \dots, m_n\}$ mit $\{x_1, \dots, x_m\}$
Anfangsbedingung: $x_1 = \dots = x_m = 0$

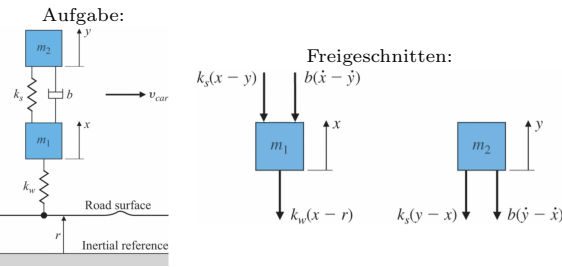
1. Freischneiden: $\forall x_i \forall x_j : x_j \neq x_i : x_j$ „festhalten“, x_i „erhöhen“ und Pfeile entgegengesetzt ausrichten, so dass
 - $\forall k : k(x_i - x_j)$
 - $\forall b : b(\dot{x}_i - \dot{x}_j)$



2. Gleichungssystem:
 $\sum F = 0 = m_i \ddot{x}_i$
Vorzeichen aller entgegengesetzten Kräfte sind negativ.

3. Stabilität:
System ist stabil, sobald mindestens eine m_i unabhängig gedämpft oder das System nur einseitig beschränkt ist.

Beispiel



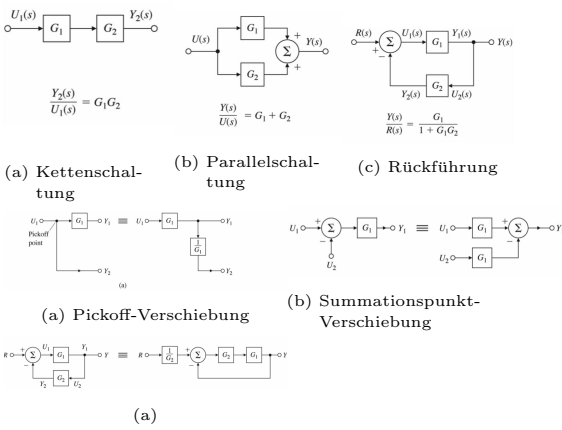
Gleichungssystem:

$$\begin{aligned} m_1 \cdot \ddot{x} &= -k_w(x-r) - k_s(x-y) - b(\dot{x}-\dot{y}) \\ m_2 \cdot \ddot{y} &= -k_s(y-x) - b(\dot{y}-\dot{x}) \\ \frac{k_w}{m_1} r &= \ddot{x} + \frac{b}{m_1} \dot{x} + \frac{k_w+k_s}{m_1} x - \frac{b}{m_1} \dot{y} - \frac{k_s}{m_1} y \\ 0 &= \ddot{y} + \frac{b}{m_2} \dot{y} + \frac{k_s}{m_2} y - \frac{b}{m_2} \dot{x} - \frac{k_s}{m_2} x \end{aligned}$$
$$\begin{aligned} \frac{k_w}{m_1} R(s) &= \left(s^2 + s \frac{b}{m_1} + \frac{k_w+k_s}{m_1} \right) X(s) - \left(s \frac{b}{m_1} + \frac{k_s}{m_1} \right) Y(s) \\ 0 &= \left(s^2 + s \frac{b}{m_2} + \frac{k_s}{m_2} \right) Y(s) - \left(s \frac{b}{m_2} + \frac{k_s}{m_2} \right) X(s) \end{aligned}$$

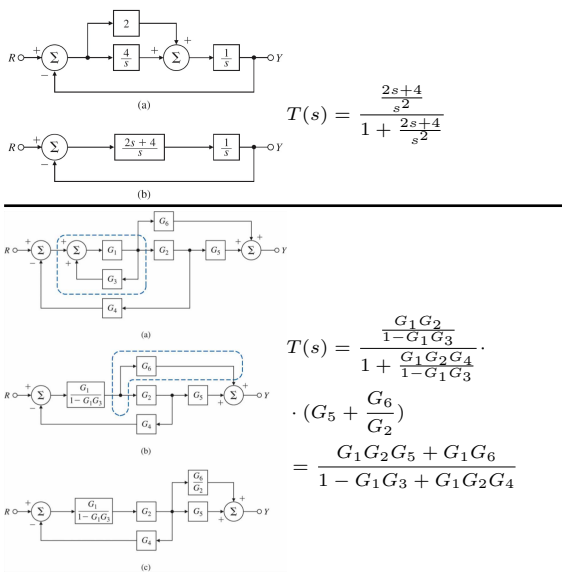
③ Das dynamische Verhalten von Systemen

3.1 Blockdiagramme

Regeln



Beispiele



3.2 Laplace-Transformation

Wenn nichts anderes gegeben gilt für Anfangsbedingungen $y(0) = y(0) = \dots = 0$.

3.3 Partialbruchzerlegung

Regeln

$$\frac{A}{x - x_1} \quad \text{Einfache Nullstelle}$$

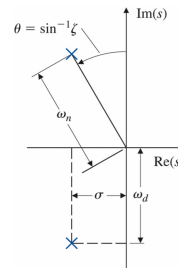
$$\frac{A_1}{x - x_1} + \dots + \frac{A_m}{(x - x_1)^m} \quad \text{m-fache Nullstelle}$$

$$\frac{Ax + B}{x^2 + ax + b} \quad \text{quadratisch (komplex) Nst}$$

$$\frac{Ax + B}{x^2 + ax + b} + \dots + \frac{A_mx + B_m}{x^2 + ax + b} \quad \text{m-fach quadratisch Nst}$$

4.1 PT₂ - Glied

PT₂ - Glied



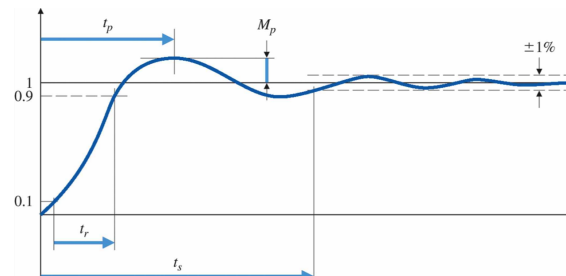
Instabilität beginnt in der rechten Halbebene.
Für die **Dämpfung** gilt, je kleiner der Winkel θ , desto kleiner ist die Dämpfung:

$$\theta = \arcsin \zeta$$

Charakteristische Gleichung:
 $a(s) = s^2 + 2\zeta\omega_n s + \omega_n^2 = (s + \sigma)^2 + \omega_d^2$

4.2 Kenngrößen im Zeitbereich

Kenngrößen



Steigzeit [0.1, 0.9]:

$$t_r \approx \frac{1.8}{\omega_n}$$

Überschwingweite:

$$M_p = e^{\frac{-\pi\zeta}{\sqrt{1-\zeta^2}}}$$

$$0 \leq \zeta \leq 1$$

Gedämpfte Kreisfrequenz:

$$\omega_d = \omega_n * \sqrt{1 - \zeta^2}$$

$$\text{Dämpfung } \zeta = \sqrt{\frac{\ln(M_p)^2}{\pi^2 + \ln(M_p)^2}}$$

$\pm 1\%$ -Einschwingzeit:

$$t_s = \frac{\ln 0.01}{\zeta\omega_n} = \frac{4.6}{\sigma}$$

Anstiegszeit:

$$t_p = \frac{\pi}{\omega_n \sqrt{1 - \zeta^2}} = \frac{\pi}{\omega_d}$$

Ungedämpft zu gedämpft

$$\omega_n^2 = \sigma^2 + \omega_d^2$$

6 Stabilität von linearen Systemen

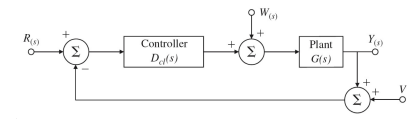
Stationäres Verhalten

$$\text{Stationärwert: } y_{ss} = \lim_{t \rightarrow \infty} y(t) = \lim_{s \rightarrow 0} sY(s)$$

$$D(s) = \begin{cases} K & \text{P-Regler} \\ K \left(1 + \frac{1}{T_i s}\right) & \text{PI-Regler} \\ K \left(1 + \frac{1}{T_i s} + T_D s\right) & \text{PID-Regler} \end{cases}$$

Stabilität

Alle Pole der Übertragungsfunktion müssen in der LHE sein.
Steuerung stabilisiert nicht. Regelung:



$$G(s) = \frac{b(s)}{a(s)} \quad D_{OL} = \frac{c(s)}{d(s)} \quad 1 + GD_{CL} = 0$$

$$1 + \frac{bc}{ad} = 0 \quad a(s)d(s) + b(s)c(s) = 0$$

Die Regelung reduziert die Auswirkung von Störung um $1 + AK$.

6.1 Routh-Stabilitätskriterium

Routh Kriterium

Gibt Aussage darüber, ob alle Pole des charakteristischen Polynoms $P(s)$ in der LHE liegen:

$$P(s) = s^n + a_1 s^{n-1} + a_2 s^{n-2} + \dots + a_{n-1} s + a_n$$

Es muss gelten $a_i > 0$ für $\forall i \in \mathbb{N}$

n	s^n	1	a_2	a_4	...
$n-1$	s^{n-1}	a_1	a_3	a_5	...
$n-2$	s^{n-2}	b_1	b_2	b_3	...
$n-3$	s^{n-3}	c_1	c_2	c_3	...
...
2	s^2	*	*		
1	s^1	*			
0	s^0	...			

Die Koeffizienten werden folgendermaßen errechnet:

$$b_1 = -\frac{\begin{vmatrix} 1 & a_2 \\ a_1 & a_3 \end{vmatrix}}{a_1} = \frac{a_1 a_2 - a_3}{a_1} \quad c_1 = -\frac{\begin{vmatrix} a_1 & a_3 \\ b_1 & b_2 \end{vmatrix}}{b_1} = \frac{b_1 a_3 - a_1 b_2}{b_1}$$

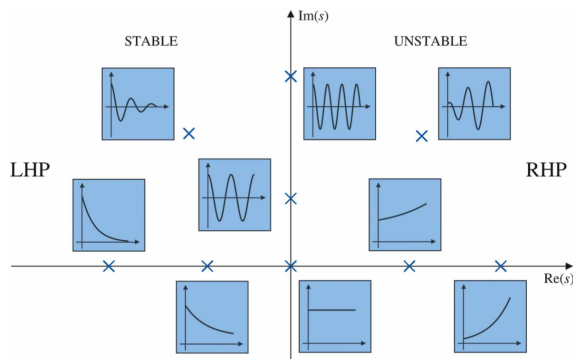
$$b_2 = -\frac{\begin{vmatrix} 1 & a_4 \\ a_1 & a_5 \end{vmatrix}}{a_1} = \frac{a_1 a_4 - a_5}{a_1} \quad c_2 = -\frac{\begin{vmatrix} a_1 & a_5 \\ b_1 & b_3 \end{vmatrix}}{b_1} = \frac{b_1 a_5 - a_1 b_3}{b_1}$$

$$b_3 = -\frac{\begin{vmatrix} 1 & a_6 \\ a_1 & a_7 \end{vmatrix}}{a_1} = \frac{a_1 a_6 - a_7}{a_1} \quad c_3 = -\frac{\begin{vmatrix} a_1 & a_7 \\ b_1 & b_4 \end{vmatrix}}{b_1} = \frac{b_1 a_7 - a_1 b_4}{b_1}$$

- Alle Elemente der ersten Spalte positiv \Rightarrow Wurzeln in der offenen LHE
- #-Wurzeln in der geschlossenen RHE = #-Vorzeichenwechsel
- Wenn das erste Element einer Zeile null ist, setze $\epsilon > 0$. Stabilitätskriterium für $\epsilon \rightarrow 0_+$

4 Frequenzgang und Polstellenlage

Auswirkung der NST und Polstellenlage



Polstelle (reell + komplexes Polpaar)

Re	Im	Auswirkung
< 0	$= 0$	stabil - keine Schwingung
> 0	$= 0$	instabil - keine Schwingung
$= 0$	$= 0$	instabil - keine Schwingung
< 0	\neq	stabil - Schwingung
> 0	\neq	instabil - Schwingung
$= 0$	\neq	Dauerschwingung

Nullstelle:

≤ 0	minimalphasiges System (evtl. Überschwing)
≥ 0	nichtminimalphasiges System (Systemantwort erst entgegen der Sprunganregung)
$= 0$	$\lim_{t \rightarrow \infty} y(t) \rightarrow 0$

Sensitivität

Sensitivität beschreibt die Reaktion des Systems auf Änderung im Parameter

$$S_A^{T_{CL}} = \frac{A}{T_{CL}} \frac{dT_{CL}}{dA} \quad |S_G^{T_{CL}}| = \frac{1}{1 + G(i\omega_0)D(i\omega_0)}$$

T_{CL} – Closed-Loop Übertragungsfunktion A – Parameter

6.2 CLM-Stabilitätskriterium

CLM-Kriterium

Annahme: m -Wurzeln in RHE und $n - m$ -Wurzeln ($n \leq m$)
Charakteristische Gleichung:

$$P(s) = a_0 + a_1 s + a_2 s^2 + \dots + a_n s^n = 0$$

Einsetzen $s = j\omega$. Das System ist dann asymptotisch stabil, wenn

1. die Ortskurve $P(j\omega)$ für $0 \leq \omega \leq \infty$ die Quadranten abwechselnd durchläuft (sich die Nullstellen des Real- und Imaginärteils von $P(j\omega) = U(\omega) + jV(\omega)$ abwechseln).
2. Real- und Imaginärteil zusammen n (Grad der Gleichung) reelle Nullstellen im Bereich $0 \leq \omega \leq \infty$ besitzen.

Beispiel:

$$P(s) = 2 + 5s + 7s^2 + 8s^3 + 4s^4 + s^5$$

$$P(j\omega) = 2 + 5j\omega + 7(j\omega)^2 + 8(j\omega)^3 + 4(j\omega)^4 + (j\omega)^5$$

$$2 - 7\omega^2 + 4\omega^4 + j(5\omega - 8\omega^3 + \omega^5)$$

$$U(\omega) + jV(\omega)$$

Realteil hat die Nullstellen:

$$2 - 7\omega^2 + 4\omega^4 = 0$$

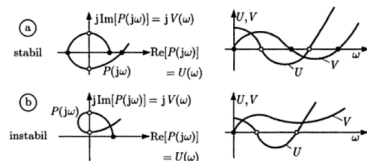
$$\omega_1^2 = 0,36 \quad \omega_2^2 = 1,39$$

Imaginärteil hat die Nullstellen:

$$5\omega - 8\omega^3 + \omega^5 = 0$$

$$\omega_3 = 0 \quad \omega_4^2 = 0,68 \quad \omega_5^2 = 7,32$$

Insgesamt sind $n = 5$ reelle Nullstellen mit $\omega_i \geq 0$ vorhanden. Diese wechseln sich jeweils ab, damit ist das System asymptotisch stabil. $\omega_3 < \omega_1 < \omega_4 < \omega_2 < \omega_5$ Siehe Grafik:



8 Wurzelortskurve

Konstruktionsregeln

n - Anzahl der Pole (p_i)

m - Anzahl der NST (z_i)

Regel 1:

$n - m$ Zweige gehen zu den Asymptoten
 m Zweige enden in den NSTs

Regel 2:

Ein Punkt ist auf WOK, wenn die Summe der Pole und NST rechts vom Punkt ungerade ist (0 ist ungerade) (Nur Pole und NST auf der reellen Achse)

Regel 3:

Asymptoten schneiden sich im Schwerpunkt α und haben Winkel Φ_l , $l = 1, \dots, n - m$

$$\Phi_l = \frac{180^\circ}{n - m} + \frac{360^\circ(l - 1)}{n - m}$$

$$\alpha = \frac{\sum p_i - \sum z_i}{n - m}$$

Regel 4:

Beachte Laufindex: $l = 1, \dots, q$
Austrittswinkel der Zweige q -Facher Pol. Φ_i - Winkel aus der Sicht der Polstelle. Ψ_i - Winkel aus der Sicht der Nullstelle.

$$\Phi_{l, \text{Beginn}} = \frac{1}{q} \left(\sum \Psi_i - \sum_{i \neq l} \Phi_i - 180^\circ - 360^\circ(l - 1) \right)$$

Eintrittswinkel in die q -fachen Nullstellen:

$$\Psi_{l, \text{End}} = \frac{1}{q} \left(\sum \Phi_i - \sum_{i \neq l} \Psi_i + 180^\circ + 360^\circ(l - 1) \right)$$

Regel 5:

Austrittswinkel aus einem Verzweigungspunkt (q -facher Pol):

$$\Psi_l = \frac{180^\circ}{q} + 360^\circ \frac{l - 1}{q}$$

Regel 6:

Verzweigungspunkte Pole (Nullstellen):

$$\sum_{i=1}^m \frac{1}{s - z_i} - \sum_{i=1}^n \frac{1}{s - p_i} = 0$$

Charakteristische Gleichung:

$$1 + K * L(s) = 0$$

Berechnung von K :

Das gesuchte s in die Gleichung einsetzen und die Gleichung lösen

$$K = - \frac{\prod_i (s - p_i)}{\prod_i (s - z_i)}$$

7 Bode-Diagramm

Konstruktionsregeln Bode-Diagramm

Amplitudengang:

$$G(s) = c \cdot s^r \cdot \underbrace{G_1(s) \cdot G_2(s) \cdot \dots \cdot G_k(s)}_{G^*(s)} \cdot e^{-T_t s}$$

$$G_i(s) = (s + n_i) \text{ reelle Nullstelle}$$

1. Eckfrequenzen aufsteigend sortieren
2. niedrigste Frequenz ist die Startfrequenz ω_1
3. Startamplitude:
 $A_{dB}(\omega_{\min}) = 20 \log_{10}(|c \cdot G^*(0)| \cdot \omega_{\min}^r)$
4. Asymptote links vom Startpunkt:
 $r \cdot 20 \frac{dB}{\text{Dekade}}$
5. Wenn zwischen benachbarten Eckfrequenzen 1 Dekade liegt \Rightarrow Absenkung(POL)/Erhöhung(NST) um $n \cdot 3dB$ über dem jeweiligen Knickpunkt
6. Jede Eckfrequenz verändert die Steigung folgendermaßen

$$G_i = (s + n_i) \quad +20 \frac{dB}{\text{Dekade}} \quad \omega_i = |n_i|$$

$$G_i = \frac{1}{(s + p_i)} \quad -20 \frac{dB}{\text{Dekade}} \quad \omega_i = |p_i|$$

$$G_i = (s^2 + 2D_i m_i s + m_i^2) \quad +40 \frac{dB}{\text{Dekade}} \quad \omega_i = |m_i|$$

$$G_i = \frac{1}{(s^2 + 2D_i p_i s + p_i^2)} \quad -40 \frac{dB}{\text{Dekade}} \quad \omega_i = |p_i|$$
7. Jeder Term der Form $s^2 + 2D_i m_i s + m_i^2$ liefert einen Peak am entsprechenden ω_i . Eine Nullstelle unterhalb der Asymptote - eine Polstelle oberhalb der Asymptote. $(\pm)20 \log(\frac{1}{2 * D_i})$

$$\text{Exakter Wert: } A_{dB}(\omega) = 20 \cdot \log_{10}(G(\omega))$$

Phasengang:

1. Bestimme Startfrequenz

$$\varphi(0) = \begin{cases} r \cdot 90^\circ & \text{wenn } c \cdot G^*(0) > 0 \\ -180^\circ + r \cdot 90^\circ & \text{wenn } c \cdot G^*(0) < 0 \end{cases}$$
2. an jeder Eckfrequenz springt die Phase:

$$G_i = (s + n_i) \quad +90^\circ \cdot \text{sign}(n_i)$$

$$G_i = \frac{1}{(s + p_i)} \quad -90^\circ \cdot \text{sign}(p_i)$$

$$G_i = (s^2 + 2D_i m_i s + m_i^2) \quad +180^\circ \cdot \text{sign}(D_i m_i)$$

$$G_i = \frac{1}{(s^2 + 2D_i p_i s + p_i^2)} \quad -180^\circ \cdot \text{sign}(D_i p_i)$$
3. Wenn $2D_i q_i s = 0 \rightarrow$ ungedämpftes Polpaar $\rightarrow \text{sign}(0) = \pm 1$ (kann gewählt werden)

Exakter Wert:

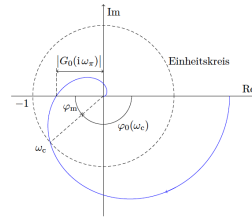
$$\varphi(\omega) = \sum_j \arctan\left(-\frac{b}{a}\right) : \forall G_j(i\omega) \in G^* : \left\{ \frac{b + ai}{a + bi} \right.$$

Phasenminimumsystem

Phasenminimumsystem ist dann gegeben, wenn die Übertragungsfunktion

- keinen Totzeitfaktor enthält
- $G(s)$ hat Pole und Nullstelle nur in LHE

Nyquist



Amplituden-/ Betragsreserve

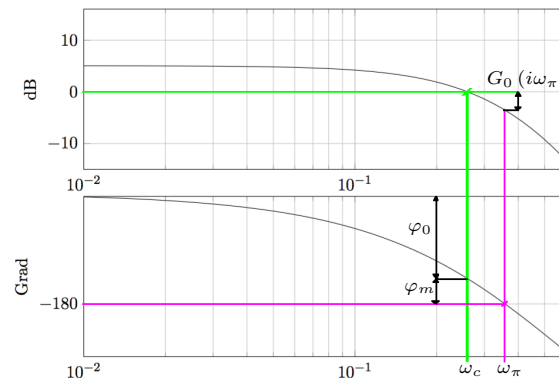
$$G_m = \frac{1}{|G_0(i\omega_\pi)|}$$

$$\omega_\pi = -180^\circ$$

Phasenreserve (ω_c ist im Bode Diagramm, da wo Amplitudengang 0dB schneidet):

$$\phi_m = \pi + \phi(\omega_c)$$

Übliche Werte sind $G_m = 2, 5 \dots 10$ und $\phi_m = 30^\circ \dots 60^\circ$. Zur Stabilitätsanalyse kann man prüfen $|G_0(i\omega_\pi)|$ größer oder kleiner als 1 ist.



Mit $\varphi_m = \pi + \varphi(\omega_c)$ und $G_m = \frac{1}{|G_0(i\omega_\pi)|}$

Berechnung Betragsreserve aus $G(s)$

Gegeben ist eine Übertragungsfunktion:

$$G(s) = \frac{10}{s^3 + 11s^2 + 11s + 10}$$

$j\omega$ -Einsetzen - und auf die untere Form bringen:
Umformen auf

$$G(j\omega) = \frac{10}{\text{Re} + j\omega \text{Im}} = \frac{10}{(-11\omega^2 + 10) + i\omega(11 - \omega^2)}$$

$$\tan(-\pi) = 0 = \frac{\omega_\pi(11 - \omega_\pi^2)}{\omega_\pi^2 + 10}$$

$$\omega_\pi = \sqrt{11}$$

$$G(i\omega_\pi) = \frac{10}{-111} = 20,9 \text{ dB}$$

10 Zustandsraumdarstellung

Übertragungsfunktion aus Zustandsraumdarstellung

Matrixinversion

$$G(s) = \frac{Y(s)}{U(s)} = C(sI - A)^{-1}B + D$$

Verallgemeinerte Systemmatrix

Rosenbrockmatrix aufstellen:

$$P(s) = \begin{bmatrix} sI - A & B \\ -C & D \end{bmatrix}$$

Übertragungsfunktion:

$$G(s) = \frac{\text{Cadj}(sI - A)B + D|sI - A|}{|sI - A|} = \frac{|P(s)|}{|sI - A|}$$

11 Kanonische Formen

Definition + Umrechnung

Allgemeine Darstellung: Darstellung in Normalform:

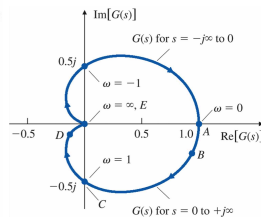
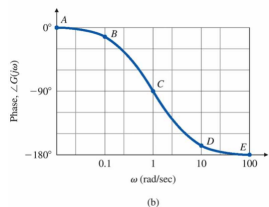
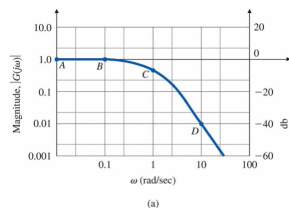
$$\begin{aligned} \dot{x} &= Fx + Gu \\ y &= Hx + Ju \end{aligned} \quad \begin{aligned} \dot{x} &= Ax + Bu \\ y &= Cx + Du \end{aligned}$$

$$\begin{aligned} A &= T^{-1}FT \\ B &= T^{-1}G \end{aligned} \quad \begin{aligned} \dot{x} &= Fx + Gu \\ y &= Hx + Ju \end{aligned}$$

9 Nyquist-Diagramm (Stabilität)

Konstruktionsregeln Nyquist-Diagramm

1. Betrag und Phase für mehrere Punkte aus dem Amplitudengang und Phasengang des Bode-Diagramms ablesen.
2. Die Länge des Zeigers $10^{\frac{A_{dB}(\omega)}{20}}$ zum Nyquist-Plot ist der Wert im Amplitudengang.
3. Der Winkel des Zeigers ist $\varphi(\omega)$
4. Für $\omega = 0^\circ$ bis $\omega = \infty$
5. Instabil, wenn der Nyquist-Plot die -1 umschließt.



Kochrezept: Regelungsnormform

Definition:

$$Y(s) = \frac{b(s)}{a(s)} U(s) \quad (1)$$

$$= \frac{b_1 s^{n-1} + \dots + b_{n-1} s + b_n}{s^n + a_1 s^{n-1} + \dots + a_{n-1} s + a_n} U(s) \quad (2)$$

$$\dot{\mathbf{x}} = \begin{bmatrix} 0 & 1 & \dots & 0 \\ \vdots & \vdots & \ddots & \vdots \\ 0 & 0 & \dots & 1 \\ -a_n & -a_{n-1} & \dots & -a_1 \end{bmatrix} \mathbf{x} + \begin{bmatrix} 0 \\ \vdots \\ 0 \\ 1 \end{bmatrix} u \quad (3)$$

$$y = [b_n \ b_{n-1} \ \dots \ b_1] \mathbf{x} \quad (4)$$

Bilde die Inverse \mathbf{C}^{-1} von:

$$\mathbf{C} = [G \ FG \ \dots \ F^{n-1}G]$$

Nehme letzte Zeile \mathbf{t}_1^T von \mathbf{C}^{-1}

$$[0 \ 0 \ \dots \ 1] \mathbf{C}^{-1}$$

Stelle inverse der Transformationsmatrix \mathbf{T} auf:

$$\mathbf{T}^{-1} = \begin{bmatrix} \mathbf{t}_1^T \\ \mathbf{t}_1^T \mathbf{F} \\ \mathbf{t}_1^T \mathbf{F}^2 \\ \vdots \\ \mathbf{t}_1^T \mathbf{F}^{n-1} \end{bmatrix}$$

Umrechnungsvorschrift Zustandsform

$$\mathbf{B} = \begin{bmatrix} 0 \\ 0 \\ \vdots \\ 1 \end{bmatrix} \quad \mathbf{A} = \mathbf{T}^{-1} \mathbf{F} \mathbf{T} \quad \mathbf{C} = \mathbf{H} \mathbf{T}$$

Steuerbarkeit

Das System heißt **steuerbar**, wenn \mathbf{C} **nicht singulär** ist. (Es existiert eine Inverse von \mathbf{C})

Kochrezept: Beobachtungsnormform

Definition: Aus der Funktion 2 stellt man die Matrizen auf:

$$\dot{\mathbf{x}} = \begin{bmatrix} 0 & \dots & 0 & -a_n \\ 1 & \dots & 0 & -a_{n-1} \\ \vdots & \vdots & \vdots & \vdots \\ 0 & \dots & 1 & -a_1 \end{bmatrix} \mathbf{x} + \begin{bmatrix} b_n \\ b_{n-1} \\ \vdots \\ b_1 \end{bmatrix} u$$

$$y = [0 \ \dots \ 0 \ 1] \mathbf{x}$$

Umrechnungsregeln

$$\mathbf{A}_O = \mathbf{A}_C^T \quad \mathbf{B}_O = \mathbf{C}_C^T \\ \mathbf{C}_O = \mathbf{B}_C^T \quad \mathbf{D}_O = \mathbf{D}_C$$

Bilde die Inverse \mathbf{O}^{-1} und nehme letzte **Spalte** \mathbf{t}_1 von \mathbf{O}^{-1}

$$\mathbf{O} = \begin{bmatrix} \mathbf{H} \\ \mathbf{H}\mathbf{F} \\ \vdots \\ \mathbf{H}\mathbf{F}^{n-1} \end{bmatrix} \rightarrow \mathbf{O}^{-1} \quad \mathbf{t}_1 = \mathbf{O}^{-1} \begin{bmatrix} 0 \\ 0 \\ \vdots \\ 1 \end{bmatrix}$$

Die Transformationsmatrix bilden \mathbf{T} nach Vorschrift:

$$\mathbf{T} = [\mathbf{t}_1 \ \mathbf{F}\mathbf{t}_1 \ \dots \ \mathbf{F}^{n-1}\mathbf{t}_1]$$

Umrechnungsvorschrift in Beobachtungsnormform

$$\mathbf{C} = [0 \ 0 \ \dots \ 1] \\ \mathbf{A} = \mathbf{T}^{-1} \mathbf{F} \mathbf{T} \\ \mathbf{B} = \mathbf{T}^{-1} \mathbf{G}$$

Beobachtbarkeit

Das System heißt **beobachtbar**, wenn \mathbf{O} **nicht singulär** ist. (Es existiert eine Inverse von \mathbf{O})

Kochrezept: Modalform

Partialbruchzerlegung der Übertragungsfunktion \Rightarrow Modus

1. Alle Pole sind reell und einfach:

$$G(s) = \frac{b_1}{s - p_1} + \dots + \frac{b_n}{s - p_n}$$

$$\dot{\mathbf{x}} = \begin{bmatrix} p_1 & 0 & \dots & 0 \\ 0 & p_2 & \dots & 0 \\ \vdots & \vdots & \ddots & \vdots \\ 0 & 0 & \dots & p_n \end{bmatrix} \mathbf{x} + \begin{bmatrix} 1 \\ 1 \\ \vdots \\ 1 \end{bmatrix} u$$

$$y = [b_1 \ b_2 \ \dots \ b_n] \mathbf{x}$$

Jordanform - wenn die Nullstellen nicht reell sind:

2. Komplexes Polpaar \Rightarrow Partialbruch der Art. Blockmatrizen für das Polpaar werden an entsprechender Stelle eingefügt

$$\frac{b_{i+1}s + b_i}{s^2 + a_i s + a_{i+1}}$$

$$\dot{\mathbf{x}} = \begin{bmatrix} 0 & 1 \\ -a_{i+1} & -a_i \end{bmatrix} \mathbf{x} + \begin{bmatrix} 0 \\ 1 \end{bmatrix} u \quad \mathbf{y} = [b_i \ b_{i+1}] \mathbf{x}$$

3. Ein m -facher Pol $\frac{b}{(s-p)^m}$

$$\dot{\mathbf{x}} = \begin{bmatrix} p & 1 & \dots & 0 & 0 \\ 0 & p & \dots & 0 & 0 \\ \vdots & \vdots & \ddots & \vdots & \vdots \\ 0 & 0 & \dots & p & 1 \\ 0 & 0 & \dots & 0 & p \end{bmatrix} \mathbf{x} + \begin{bmatrix} 0 \\ 0 \\ \vdots \\ 0 \\ 1 \end{bmatrix} u \quad \mathbf{y} = [b \ 0 \ \dots \ 0 \ 0] \mathbf{x}$$

Zum erstellen der Modalform:

Eigenwerte λ_i von \mathbf{F} berechnen (5)

Eigenvektoren von \mathbf{F} bilden \mathbf{T} (6)

Umrechnungsvorschrift in Modalform

$$\mathbf{A} = \text{diag}\{\lambda_1, \dots, \lambda_n\} \\ \mathbf{B} = \mathbf{T}^{-1} \mathbf{G} \quad \mathbf{C} = \mathbf{H} \mathbf{T}$$

Aussagen

Für \mathbf{B} - wenn $b_i = 0 \Rightarrow x_i$ **nicht steuerbar**
Für \mathbf{C} - wenn $c_i = 0 \Rightarrow x_i$ **nicht beobachtbar**

Aufgabe: Stellen Sie folgende Übertragungsfunktion in Jordannormalform dar:

$$G(s) = \frac{2s+4}{s^2(s^2+2s+4)} = \frac{1}{s^2} - \frac{1}{s^2+2s+4}$$

Lösung:

$$\begin{bmatrix} \dot{x}_1 \\ \dot{x}_2 \\ \dot{x}_3 \\ \dot{x}_4 \end{bmatrix} = \begin{bmatrix} 0 & 1 & 0 & 0 \\ 0 & 0 & 0 & 0 \\ 0 & 0 & 0 & 1 \\ 0 & 0 & -4 & -2 \end{bmatrix} \begin{bmatrix} x_1 \\ x_2 \\ x_3 \\ x_4 \end{bmatrix} + \begin{bmatrix} 0 \\ 1 \\ 0 \\ 1 \end{bmatrix} u \quad y = [1 \ 0 \ -1 \ 0] x$$

13 Regelung im Zustandsraum

13.1 Regler-Entwurf

1. Die Zustandsrückführung ist : $u = -Kx$ einsetzen in $\dot{x} = Fx + Gu$
2. $\dot{x} = (F - GK)x$
3. Für vorgegebene Pole s_i charakteristische Gleichung aufstellen
4. $\det(sI - F + GK)$ ergibt die charakteristische Gleichung in Abhängigkeit von $K = [k_1 \dots k_n]$
5. Koeffizientenvergleich zwischen beiden charakteristischen Gleichungen $\Rightarrow K$

System in Regelungsnormalform K ist besonders einfach, wenn ein System in RNF vorliegt.

$$A_C - B_C K = \begin{bmatrix} 0 & 1 & 0 & \dots & 0 \\ 0 & 0 & 1 & \dots & 0 \\ 0 & 0 & 0 & \ddots & 0 \\ 0 & 0 & 0 & \dots & 1 \\ -a_n - k_1 & -a_{n-1} - k_2 & \dots & -a_1 - k_n \end{bmatrix}$$

Die charakteristische Gleichung ergibt sich sofort zu:

$$s^n + (a_1 + k_n)s^{n-1} + (a_2 + k_{n-1})s^{n-2} + \dots + (a_n + k_1) = 0$$

Man kann direkt den Koeffizientenvergleich machen - Determinantenbildung entfällt.

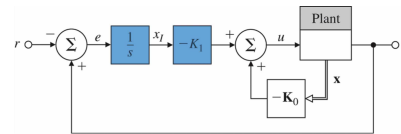
Integralregelung

Charakteristische Gleichung $0 = \det(sI - A_a + B_a * K)$ Integralregelung sorgt dafür der Fehler bei Änderung der Streckenparameter Null wird. Das System wird um einen Integralen Teil erweitert.

$$\begin{bmatrix} \dot{x}_I \\ \dot{x} \end{bmatrix} = \begin{bmatrix} 0 & H \\ 0 & F \end{bmatrix} \begin{bmatrix} x_I \\ x \end{bmatrix} + \begin{bmatrix} 0 \\ G \end{bmatrix} u - \begin{bmatrix} 1 \\ 0 \end{bmatrix} r$$

mit dem Regler:

$$u = -[K_1 \ K_0] \begin{bmatrix} x_I \\ x \end{bmatrix} = -K \begin{bmatrix} x_I \\ x \end{bmatrix}$$



Beispiel: Übertragungsfunktion $\frac{Y(s)}{U(s)} = \frac{1}{s+3}$

Systembeschreibung $F = -3, G = 1, H = 1$

Gewünscht Pole bei $s = -5 + \text{Integralanteil}$

$\Rightarrow a_C(s) = s^2 + 10s + 25$

Die erweiterte Systembeschreibung ergibt sich zu:

$$\begin{bmatrix} \dot{x}_I \\ \dot{x} \end{bmatrix} = \begin{bmatrix} 0 & 1 \\ 0 & -3 \end{bmatrix} \begin{bmatrix} x_I \\ x \end{bmatrix} + \begin{bmatrix} 0 \\ 1 \end{bmatrix} u - \begin{bmatrix} 1 \\ 0 \end{bmatrix} r$$

Die Rückführmatrix

$$\det \left(sI - \begin{bmatrix} 0 & 1 \\ 0 & -3 \end{bmatrix} + \begin{bmatrix} 0 \\ 1 \end{bmatrix} K \right) \stackrel{!}{=} s^2 + 10s + 25$$

$$K = [K_1 \ K_2] = [25 \ 7]$$

Referenzsystem

Das ist, dass im eingeschwungenen Zustand der Ausgang $y = r$ ist. Mit $u = -Kx + r$ als Ansatz.

Vorgehensweise

1. Gleichung

$$\begin{bmatrix} F & G \\ H & J \end{bmatrix} \begin{bmatrix} N_x \\ N_u \end{bmatrix} = \begin{bmatrix} 0 \\ 1 \end{bmatrix} \quad \begin{bmatrix} N_x \\ N_u \end{bmatrix} = \begin{bmatrix} F & G \\ H & J \end{bmatrix}^{-1} \begin{bmatrix} 0 \\ 1 \end{bmatrix}$$

2. Damit ergibt sich

$$u = N_u * r - K(x - N_x r) = -Kx + \underbrace{(N_u + KN_x)}_N r$$

13.2 Beobachterentwurf

Manche Zustandsgrößen können nur geschätzt werden (Messung nicht möglich). Man nutzt einen Schätzwert (Simulation) \hat{x} . Mit dem Beobachterentwurf wird dafür gesorgt, dass der Schätzfehler auf Null abklingt. **Vorgehensweise**

1. Wunschkpole zu Wunsch-Charakteristischen Gleichung umformen
2. Bilde $\det(sI - (F - LH)) \Rightarrow$ - Charakteristische Gleichung abhängig von $L = [l_1 \dots l_n]^T$
3. Koeffizientenvergleich und Werte von L bestimmen

System in Beobachtungsnormalform Die Charakteristische Gleichung lässt sich einfach ablesen aus

$$F - LH = \begin{bmatrix} 0 & \dots & 0 & -a_n - l_1 \\ 1 & \dots & 0 & -a_{n-1} - l_2 \\ \vdots & \ddots & \vdots & \vdots \\ 0 & \dots & 1 & -a_1 - l_n \end{bmatrix}$$

$$s^n + (a_1 + l_n)s^{n-1} + (a_2 + l_{n-1} + \dots + (a_n + l_1)) = 0$$

Kompensator

Das ist die Kombination aus einem Regler und Beobachter. Die beiden werden separat entworfen und anschließend zu einem System zusammengefasst.

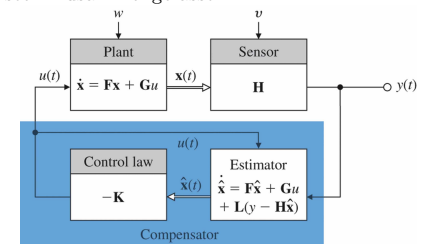


Abbildung 6

Übertragungsfunktion lässt sich berechnen durch:

$$D(s) = \frac{U(s)}{Y(s)}$$

$$U(s) = \det(P(s)) = \det \left[\begin{array}{c|c} sI - A & L \\ \hline K & 0 \end{array} \right]$$

$$Y(s) = \det(sI - F + LH + GK)$$

15 Optimale Regelung

Definitheit einer symmetrischen (Tuning-) Matrix

Matrix	a	c	a · c
positiv definit ($\succ 0$)	> 0	-	$> b^2$
positiv semidefinit ($\succeq 0$)	≥ 0	≥ 0	$\geq b^2$
negativ definit ($\prec 0$)	< 0	-	$> b^2$
negativ semidefinit ($\preceq 0$)	≤ 0	≤ 0	$\geq b^2$
indefinit	-	-	$< b^2$

15.1 LQ-Regler - optimaler Regler

Anforderung an Tuning-Matrizen:

$$P = P^T \succeq 0 \quad Q = Q^T \succeq 0 \quad R = R^T \succ 0$$

1. Löse Gleichung

$$0 = -F^T P - PF - PGR^{-1}G^T P - Q$$

2. optimaler Regeleingang

$$u(t) = -Kx(t) = -(\underbrace{R^{-1}G^T P}_K)x(t)$$

3. Eine Lösung ist gegeben, wenn alle instabilen Zustände steuerbar sind -**stabilisierbar**

4. Instabile Moden müssen durch die Kostenfunktion erfasst werden

5. Stabil, wenn das System

$$\dot{x} = Fx \quad y = Q^{\frac{1}{2}}x$$

detektierbar ist. Alle instabilen Zustände sind beobachtbar.

6. Wenn $[H, F]$ detektierbar ist typischerweise $Q = H^T H$

Stabilisierbarkeit lässt sich durch die B-Matrix, Detektierbarkeit durch die C-Matrix erkennen, wenn das System in Modalform vorliegt.

Ein Maß für die Güte eines Reglers ist die Kostenfunktion J . Die Funktion spiegelt die Kosten für einen Regler wider. Man minimiert die Kostenfunktion. \Rightarrow Ricatti-Gleichung

$$J = \int_0^\infty (x^T(t)Qx(t) + u^T(t)Ru(t))dt$$

16 Kalman-Filter - optimaler Schätzer

Das **zeitinvariante Kalman-Filter** ist realisierbar, wenn (H, F) - detektierbar und $(F, Q^{\frac{1}{2}})$ stabilisierbar. Die Lösung der Matrix-Ricatti Gleichung ist dann ein **positiv-semidefinite konstante** Matrix P .

$$\begin{aligned} (H, F) \quad \dot{x} &= Fx & y &= Hx \\ (F, Q^{\frac{1}{2}}) \quad \dot{x} &= Fx + Q^{\frac{1}{2}}u \end{aligned}$$

Für die Matrizen gilt: $Q \succeq 0$ - semidefinit und $R \succ 0$ - definit. (manchmal werden diagonale Matrizen angenommen.)

Bemerkung: Für eine einfache Lösung müssen Rauschprozesse **Prozessrauschen** $w(t)$ und **Messrauschen** $v(t)$ weiß und unkorreliert sein. $E(w(t)) = E(v(t)) = 0$ und $E(w(t), v(t)^T) = 0$ Kovarianz kann folgendermaßen ermittelt werden:

$$\begin{aligned} w(t) \quad E(w(t)w(t)^T) &= Q\delta(t-\tau) & Q &\succeq 0 \\ v(t) \quad E(v(t)v(t)^T) &= R\delta(t-\tau) & R &\succ 0 \end{aligned}$$

Vorgehensweise:

1. Löse die Gleichung

$$0 = FP + (FP)^T - (HP)^T R^{-1} HP + Q$$

2. Für 2×2 -Matrizen wird ein symmetrisches P angenommen

$$\begin{bmatrix} p_1 & p_2 \\ p_2 & p_3 \end{bmatrix}$$

3. Ein LGS mit drei Unbekannten p_1, p_2, p_3 lösen

4. Nur die Lösung mit $p_i \geq 0 \forall i$ wählen

5. Setze P in die Gleichung ein für konstante Rückführmatrix

$$L = PH^T R^{-1}$$

17 Diskrete Systeme

Zusammenhang s und z

Abbildung:

Linke komplexe s -Halbebene \Rightarrow Einheitskreis $|z| = 1$
 $z = e^{sT}$ ist die Abbildungsvorschrift

z -Übertragungsfunktion

$$\mathcal{Z}\{f(k-n)\} = z^{-n}F(z)$$

Allgemeine DGL (2. Ordnung):

$$y(k) = -a_1 y(k-1) - a_2 y(k-2) + b_0 u(k) + b_1 u(k-1) + b_2 u(k-2)$$

$$\mathcal{Z}\{y(k)\} = Y(z)$$

$$Y(z) = (-a_1 z^{-1} - a_2 z^{-2})Y(z) + (b_0 + b_1 z^{-1} + b_2 z^{-2})U(z)$$

$$\frac{Y(z)}{U(z)} = \frac{b_0 + b_1 z^{-1} + b_2 z^{-2}}{1 + a_1 z^{-1} + a_2 z^{-2}}$$

Ablezen des Pols:

$$Y(z) = \frac{1}{1 - \alpha z^{-1}} \Rightarrow z_1 = \alpha$$

Endwertsatz der z -Transformation:

Kontinuierliches System:

$$\lim_{t \rightarrow \infty} x(t) = x_{\text{stat}} = \lim_{s \rightarrow 0} sX(s)$$

Diskretes System:

$$\lim_{k \rightarrow \infty} x(k) = x_{\text{stat}} = \lim_{z \rightarrow 1} X(z)$$

z -Übertragungsfunktion: Halteglied und kontinuierliches System in Reihe

Das ist eine Approximation über Reihenschaltung Halteglied und kontinuierliches System:

$$G(z) = \frac{z-1}{z} \mathcal{Z} \left\{ \frac{G(s)}{s} \right\}$$

Reglerentwurf - diskrete Äquivalente

Vorgehen:

1. Entwerfe kontinuierlichen Regler
2. Diskretisiere den Regler
3. Bestätige Entwurf durch diskrete Analyse

Genügt eine lineare Interpolation kann die **Trapezregel** (Substitution) zur **Diskretisierung** verwendet werden:

$$s = \frac{2}{T} \cdot \frac{1 - z^{-1}}{1 + z^{-1}}$$

18 Diskrete Fundamentalmatrix

Definition

$$\mathbf{A}_d(T) = e^{\mathbf{A}T} \quad B_d = \int_0^T \mathbf{A}_d(\tau) d\tau \cdot \mathbf{B}$$

Mit Taylorzerlegung kann man \mathbf{A}_d berechnen:

$$e^{\mathbf{A}t} = \mathbf{I} + \mathbf{A}t + \mathbf{A}^2 \frac{t^2}{2!} + \mathbf{A}^3 \frac{t^3}{3!} + \dots$$

$$\frac{d}{dt} e^{\mathbf{A}t} = \mathbf{A} + \mathbf{A}^2 t + \mathbf{A}^3 \frac{t^2}{2!} + \dots$$

KOCHREZEPT: Fundamentalmatrix Berechnung

$$\mathbf{A}_d(T) = \mathcal{L}^{-1}\{(s\mathbf{I} - \mathbf{A})^{-1}\}$$

$$\mathbf{B}_d(T) = \mathcal{L}^{-1}\left\{\left(\frac{1}{s}\mathbf{A}_d(s) \cdot \mathbf{B}\right)\right\}$$

Für 2×2 -Matrix lässt sich \mathbf{A}_d so bestimmen:

$$\mathbf{A}_d(s) = \frac{1}{|s\mathbf{I} - \mathbf{A}|} \text{adj}(s\mathbf{I} - \mathbf{A})$$

$$\mathbf{A}_d(T) = \mathcal{L}^{-1}\{\mathbf{A}_d(s)\}$$

$$\mathcal{C}_d = [\mathbf{B}_d \quad \mathbf{A}_d \mathbf{B}_d \quad \dots \quad \mathbf{A}_d^{n-1} \mathbf{B}_d]$$

$$\mathcal{O}_d = \begin{bmatrix} \mathbf{C} \\ \mathbf{C} \mathbf{A}_d \\ \vdots \\ \mathbf{C} \mathbf{A}_d^{n-1} \end{bmatrix}$$

Steuerbarkeit und Beobachtbarkeit

Das zeitdiskrete System $(\mathbf{A}_d, \mathbf{B}_d)$ ist vollständig **steuerbar** bzw. **beobachtbar**, wenn kontinuierliches System (\mathbf{A}, \mathbf{B}) es ist und wenn die Abtastzeit folgendes erfüllt:

$$T < \frac{\pi}{\omega_{j,\max}}$$

$\omega_{j,\max}$ ist betraglich größter Eigenwert von \mathbf{A}